

Příloha č.1 Výpočet konzumní křivky bočního přelivu

Bezpečnostní přeliv		r= 0.38		s1= 4		s2= 3			
část přelivu	poznámka	[m]	[m n. m.]	[-]	[m]	[m]	[m/s]	[m]	[m ³ .s ⁻¹]
		h1	H	m	b	b ₀	v	h _{d0}	Q _{výp.}
Přepad přes korunu bočního přelivu 248.2 m n. m.	MBH	0.00	248.20	0.27	25	25.00	0.00	0.00	0
		0.10	248.30	0.29	25	24.98	0.00	0.00	1.03
		0.20	248.40	0.32	25	24.96	0.01	0.00	3.14
		0.30	248.50	0.34	25	24.94	0.03	0.00	6.10
		0.40	248.60	0.35	25	24.92	0.06	0.00	9.84
		0.50	248.70	0.37	25	24.90	0.10	0.00	14.29
		0.60	248.80	0.38	25	24.88	0.14	0.00	19.43
		0.70	248.90	0.39	25	24.86	0.19	0.00	25.22
		0.80	249.00	0.40	25	24.84	0.25	0.00	31.67
		0.90	249.10	0.41	25	24.82	0.32	0.01	38.76
		1.00	249.20	0.42	25	24.80	0.39	0.01	46.50
		1.10	249.30	0.43	25	24.78	0.46	0.01	54.90
		1.20	249.40	0.44	25	24.76	0.55	0.02	63.98
	1.30	249.50	0.44	25	24.74	0.64	0.02	73.78	
	Koruna HR	1.4	249.60	0.45	25	24.71	0.74	0.03	84.33
Přepad přes korunu bočního přelivu 248.7 m n. m.	poznámka	[m]	[m n. m.]	[-]	[m]	[m]	[m/s]	[m]	[m ³ .s ⁻¹]
		h2	H	m	b	b ₀	v	h _{d0}	Q _{výp.}
	MBH	0.00	248.70	0.27	38	38.00	0.00	0.00	0
		0.10	248.80	0.30	38	37.98	0.00	0.00	1.57
		0.20	248.90	0.32	38	37.96	0.01	0.00	4.78
		0.30	249.00	0.34	38	37.94	0.04	0.00	9.31
		0.40	249.10	0.35	38	37.92	0.08	0.00	15.03
		0.50	249.20	0.37	38	37.90	0.13	0.00	21.88
		0.60	249.30	0.38	38	37.88	0.19	0.00	29.82
		0.70	249.40	0.39	38	37.86	0.26	0.00	38.83
0.80	249.50	0.40	38	37.84	0.34	0.01	48.93		
	Koruna HR	0.90	249.60	0.41	38	37.82	0.43	0.01	60.13

[m n. m.]	[m ³ .s ⁻¹]
H	Q _{výp.}
248.20	0
248.30	1.03
248.40	3.14
248.50	6.10
248.60	9.84
248.70	14.29
248.80	21.00
248.90	30.01
249.00	40.98
249.10	53.79
249.20	68.38
249.30	84.72
249.40	102.82
249.50	122.71
249.60	144.46

Příloha č.2 Posouzení funkce spadiště dle Komory

I. Posouzení spadiště

Q _N	M _{max}	Q	i _s	L _s	h ₀	α	G	h _n /h ₀	h _n
	[m n. m.]	[m ³ .s ⁻¹]	[-]	[m]	[m]	[°]	[-]	[-]	[m]
Q50	249.06	48.9	0.045	61.9	1.71	5	1.6	0.9	1.5
Q100	249.14	60.3	0.045	61.9	1.96	5	1.4	1.0	2.0
Q	249.11	65.0	0.045	61.9	2.40	5	1.1	1.10	2.6
Q1000	249.36	97.0	0.045	61.9	2.90	5	1.0	1.20	3.5

Q _N	Q	M _{s0}	M _{max}	h	h _n	
	[m ³ .s ⁻¹]	[m n. m.]	[m n. m.]	[m]	[m]	[m]
Q50	48.9	246.7	249.06	0.36	1.54	0.6
Q100	60.3	246.7	249.14	0.44	1.96	0.3
Q	65.0	246.7	249.11	0.41	2.64	-0.4
Q1000	97.0	246.7	249.36	0.66	3.48	-1.1

II. Posouzení spadiště

Q _N	M _{max}	Q	i _s	L _s	h ₀	α	G	h _n /h ₀	h _n
	[m n. m.]	[m ³ .s ⁻¹]	[-]	[m]	[m]	[°]	[-]	[-]	[m]
Q100	249.13	18.1	0.045	38	0.88	5	1.9	0.85	0.7
Q	249.11	20.3	0.045	38	0.95	5	1.8	0.87	0.8
Q1000	249.35	35.9	0.045	38	1.39	5	1.2	1.1	1.5

Q _N	Q	M _{s0}	M _{max}	h	h _n	
	[m ³ .s ⁻¹]	[m n. m.]	[m n. m.]	[m]	[m]	[m]
Q100	18.1	246.7	249.13	0.43	0.75	1.5
Q	20.3	246.7	249.11	0.41	0.83	1.4
Q1000	35.9	246.7	249.35	0.65	1.53	0.8

Výpočet krytické hloubky h₀

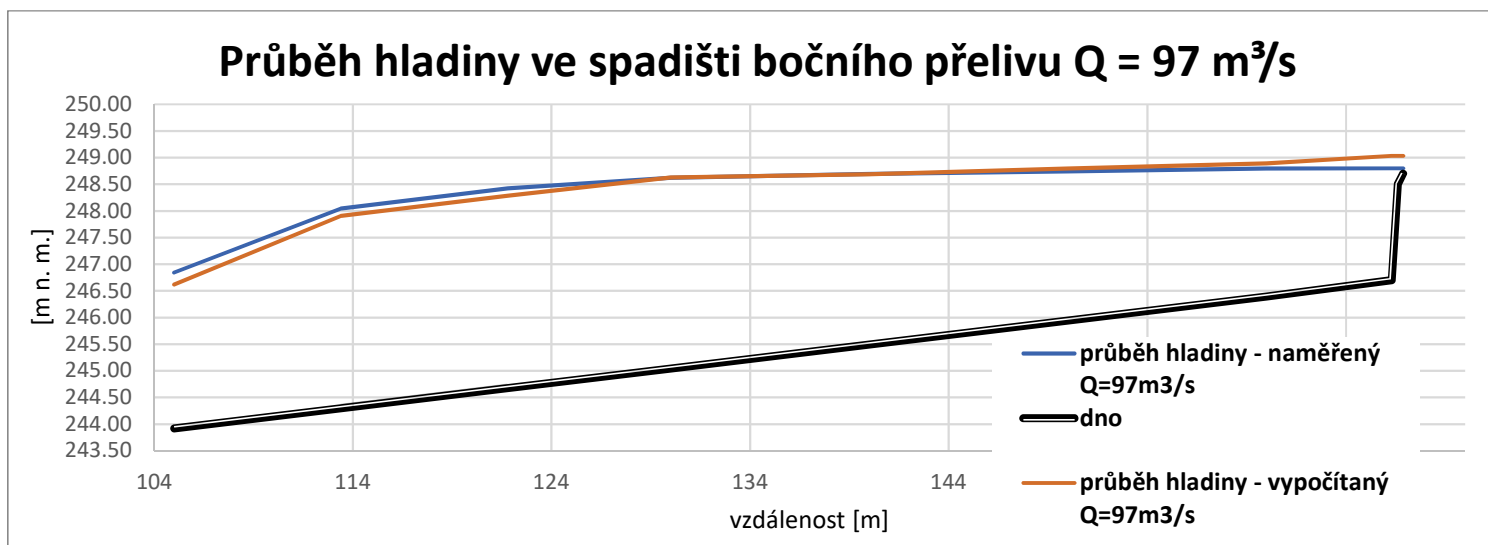
Q [m ³ .s ⁻¹]	35.0	48.9	60.3	65.0	97.0	12.8	18.1	20.3	35.9
B [m]	7	7	7	7	7	7	7	7	7
y _k [m]	1.37	1.71	1.96	2.06	2.70	0.70	0.88	0.95	1.39

$$y_k = \sqrt[3]{\frac{\alpha \cdot Q^2}{g \cdot b^2}} = \sqrt[3]{\frac{\alpha}{g} \cdot q^2}$$

Příloha č. 4 Vyhodnocení měření průběhu hladiny ve spadišti BP

$Q[m^3 \cdot s^{-1}]$ kóta hladiny [m n. m.] kóta přeliv. hrany [m n. m.]
 97 249.35 248.7 248.2

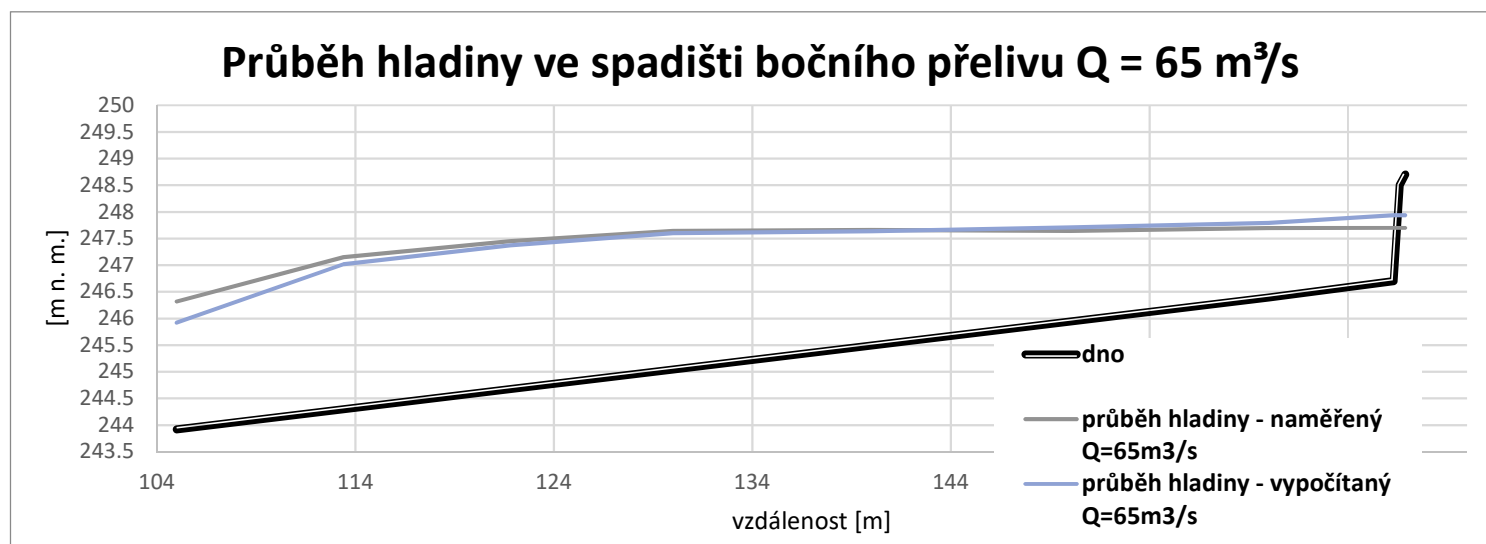
průřez	B	y1	y2	y3	y4	y	S	x	h	Q	v	hd0	H	ČE	H _{max}	H _{max} -H
č	[m]	[m]	[m]	[m]	[m]	[m]	[m ²]	[m]	[m]	[m ³ ·s ⁻¹]	[m·s ⁻¹]	[m]	[m n. m.]	[m n. m.]	[m n. m.]	[m]
1	3.6	2.1				2.1	7.6	3.5	0.65	6.77	0.90	0.04	248.80	248.84	249.03	0.22
2	4.2	2.4	2.4	2.4		2.4	10.1	8	0.65	15.47	1.53	0.12	248.80	248.92	249.03	0.23
3	5.4	2.8	2.8	2.8		2.8	15.1	18	0.65	34.81	2.30	0.27	248.75	249.02	249.03	0.28
4	5.8	3.2	3.2	3.2		3.2	18.6	28	0.65	54.15	2.92	0.43	248.70	249.13	249.03	0.33
5	7	3.7	3.6	3.5	3.5	3.6	25.0	38	1.15	73.49	2.94	0.44	248.62	245.26	248.78	0.16
6	7	3.7	3.8	3.7	3.8	3.8	26.3	8.2	1.15	81.20	3.09	0.49	248.43	245.38	248.78	0.35
7	7	3.6	3.7	3.7	4	3.8	26.3	16.6	1.15	89.10	3.39	0.59	248.05	243.89	248.78	0.73
8	7	2.6	2.8	2.9	3.4	2.9	20.5	25	1.15	97.00	4.74	1.14	246.85	247.99	248.78	1.93



Příloha č. 5 Vyhodnocení měření průběhu hladiny ve spadišti BP

$Q[m^3 \cdot s^{-1}]$ kóta hladiny [m n. m.] kóta přeliv. hrany [m n. m.]
64.9 **249.35** **248.7** **248.2**

průřez	B	y1	y2	y3	y4	y	S	x	h	Q	v	hd0	H	ČE
č	[m]	[m]	[m]	[m]	[m]	[m]	[m ²]	[m]	[m]	[m ³ ·s ⁻¹]	[m·s ⁻¹]	[m]	[m n. m.]	[m]
1	3.6	1				1.0	3.6	3.5	0.46	1.79	0.50	0.01	247.70	247.71
2	4.2	1.2	1.3	1.4		1.3	5.5	8	0.46	4.09	0.75	0.03	247.70	247.72
3	5.4	1.6	1.7	1.8		1.7	9.2	18	0.46	9.20	1.00	0.05	247.65	247.70
4	5.8	2.1	2.2	2.2		2.2	12.6	28	0.46	14.31	1.14	0.07	247.66	247.73
5	7	2.6	2.6	2.6	2.6	2.6	18.2	38	0.46	19.42	1.07	0.06	247.65	247.70
6	7	2.6	2.8	2.7	3	2.8	19.4	8.2	0.96	34.34	1.77	0.16	247.45	247.61
7	7	2.8	2.8	2.6	3.2	2.9	20.0	16.6	0.96	49.62	2.49	0.32	247.15	247.46
8	7	2.2	2.4	2.2	2.8	2.4	16.8	25	0.96	64.90	3.86	0.76	246.32	247.08



Příloha č. 6 Vyhodnocení naměřených hodnot hladin ve skluzu

Hladiny

průtok [m ³ /s]	profil	1	2	3	4	5	6	7
	staničení	95	80.6	75.2	69.8	64.4	59	41
	dno	243.49	242.84	241.14	239.44	237.74	236.04	236
	strana	hladina						
18	levá	244.29	243.34	241.64	239.84	238.44	236.94	237.1
	pravá	243.95	243.54	243.14	241.04	238.94	236.94	237.2
35	levá	244.79	243.44	241.94	239.94	238.64	236.84	237.5
	pravá	244.19	243.84	242.04	240.84	240.14	237.84	237.6
60	levá	245.39	243.74	241.94	240.04	238.24	236.84	238
	pravá	244.89	244.14	242.44	240.94	239.34	237.24	238.6
80	levá	245.79	244.04	242.14	240.34	238.54	236.84	238.4
	pravá	245.29	244.54	242.84	241.24	239.44	237.64	239.2
97	levá	246.09	244.24	242.24	240.54	238.54	237.14	238.8
	pravá	245.49	244.74	243.04	241.34	239.54	237.94	239.2

Fluktuace

60	levá						236.84	237.8
	levá						236.84	238.2
	pravá						237.24	238.4
	pravá						237.24	238.8
97	levá			242.24	240.34	238.14	237.14	238.6
	levá			242.24	240.74	238.94	237.14	239
	pravá					239.54	237.84	238.8
	pravá					239.54	238.04	239.6

Příloha č. 7 Výpočet energetické výšky v jednotlivých profilech

Energetické výšky

průtok [m ³ /s]	profil	1	2	3	4	5	6	7
		staničení	95	80.6	75.2	69.8	64.4	59
	dno	243.49	242.84	241.14	239.44	237.74	236.04	236
18	levá	0.8	0.5	0.5	0.4	0.7	0.9	1.1
	pravá	0.46	0.7	2	1.6	1.2	0.9	1.2
	průměr	0.63	0.6	1.25	1	0.95	0.9	1.15
	šířka dna	7	7.5	7.92	8.34	8.78	9	9
	plocha	4.41	4.50	9.90	8.34	8.34	8.10	10.35
	h ₀	0.85	0.82	0.17	0.24	0.24	0.25	0.15
	E	244.97	244.26	242.56	240.68	238.93	237.19	237.30
35	levá	1.3	0.6	0.8	0.5	0.9	0.8	1.5
	pravá	0.7	1	0.9	1.4	2.4	1.8	1.6
	průměr	1	0.8	0.85	0.95	1.65	1.3	1.55
	šířka dna	7	7.5	7.92	8.34	8.78	9	9
	plocha	7.00	6.00	6.73	7.92	14.49	7.20	13.95
	h ₀	1.27	1.73	1.37	0.99	0.30	1.20	0.32
	E	245.76	245.37	243.36	241.38	239.69	238.54	237.87
60	levá	1.9	0.9	0.8	0.6	0.5	0.8	2
	pravá	1.4	1.3	1.3	1.5	1.6	1.2	2.6
	průměr	1.65	1.1	1.05	1.05	1.05	1	2.3
	šířka dna	7	7.5	7.92	8.34	8.78	9	9
	plocha	11.55	8.25	8.32	8.76	9.22	7.20	20.70
	h ₀	1.40	2.73	2.69	2.43	2.19	3.59	0.43
	E	246.54	246.67	244.88	242.92	240.98	240.63	238.73
80	levá	2.3	1.2	1	0.9	0.8	0.8	2.4
	pravá	1.8	1.7	1.7	1.8	1.7	1.6	3.2
	průměr	2.05	1.45	1.35	1.35	1.25	1.2	2.8
	šířka dna	7	7.5	7.92	8.34	8.78	9	9
	plocha	14.35	10.87	10.69	11.26	10.98	7.20	25.20
	h ₀	1.58	2.75	2.85	2.57	2.70	6.28	0.51
	E	247.12	247.04	245.34	243.36	241.69	243.52	239.31
97	levá	2.6	1.4	1.1	1.1	0.8	1.1	2.8
	pravá	2	1.9	1.9	1.9	1.8	1.9	3.2
	průměr	2.3	1.65	1.5	1.5	1.3	1.5	3
	šířka dna	7	7.5	7.92	8.34	8.78	9	9
	plocha	16.10	12.38	11.88	12.51	11.41	9.90	27.00
	h ₀	1.85	3.14	3.40	3.07	3.69	4.90	0.66
	E	247.64	247.63	246.04	244.01	242.73	242.04	239.66

Příloha č.8 Průběh hladin a čáry energie ve skluzu BP

